

香 茶 菜 抗 癌 成 分 的 研 究

程培元 许美娟 林永乐 石金城

(南京药物研究所)

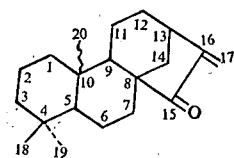
提要 从香茶菜属植物香茶菜 *Rabdosia amethystoides* (Benth) Hara 中分得七种成分，其中之一香茶菜甲素为一个新的四环二萜，有抗实验肿瘤及抑制金黄色葡萄球菌作用。用光谱法配合衍生物制备，确定甲素为 $7\alpha, 14\beta$ -羟基- 20α 羟甲基-16-贝壳杉烯-11,15=酮乙素为乌苏酸，丙素为 β -谷甾醇，己素为硬脂酸，其余成分尚在研究中。

关键词 香茶菜；香茶菜甲素； $7\alpha, 14\beta$ -羟基- 20α 羟甲基-16-贝壳杉烯-11,15=酮乌苏酸

香茶菜 *Rabdosia amethystoides* (Benth) Hara 为唇形科香茶菜属植物，民间用以治疗肿瘤，化学成分尚未见报道。我们在体外肝癌细胞培养及动物瘤谱筛选配合下，从中分得一种新的四环二萜香茶菜甲素及乌苏酸， β -谷甾醇，硬脂酸等七种成分。

香茶菜甲素（简称甲素 I）长方形板状结晶，得率 0.25%，熔点 $260\sim 262.5^{\circ}\text{C}$ ，质谱测定分子量 348，结合元素分析，分子式为 $\text{C}_{20}\text{H}_{28}\text{O}_5$ ， $[\alpha]_D^{20} + 28.6^{\circ}$ (吡啶 C=5)。紫外光谱 $\lambda_{\text{max}}^{\text{EtOH}} \text{nm} 229 (\varepsilon = 8450)$ ，红外光谱 $\nu_{\text{max}}^{\text{KBr}} \text{cm}^{-1} 1725$ (共轭五元环酮)，1700 (羰基)，1645 (环外亚甲基 $>\text{C}=\text{CH}_2$)，核磁共振谱 ($\text{C}_5\text{D}_5\text{N}$) δ 5.43 (2 H, s, $>\text{C}=\text{CH}_2$)，碳谱 ($\text{C}_5\text{H}_5\text{N}$) δ 204.2，为 α, β 不饱和酮，147.9、119.5 为两个烯碳 ($>\text{C}=\text{CH}_2$)。据此，甲素具有与环外亚甲基共轭的环戊酮的部分结构。

从下列数据表明甲素属 ent-kaurene 类型：I 的核磁共振谱 δ 0.81, 1.16 (各 3 H, s, $2 \times \text{CH}_3$) 示有偕二甲基。甲素经酰化接上三个乙酰基，该酰化物 (II) 质谱 474 M^+ ，分子式 $\text{C}_{26}\text{H}_{34}\text{O}_8$ II 的核磁共振谱 (CDCl_3) δ 1.93, 2.08, 2.13 (各 3 H, s, $3 \times \text{OAc}$) 图 1，示 I 存在三个羟基，无内酯环，结合生源关系考虑 I 属 ent-kaurene 二萜⁽¹⁾，骨架为

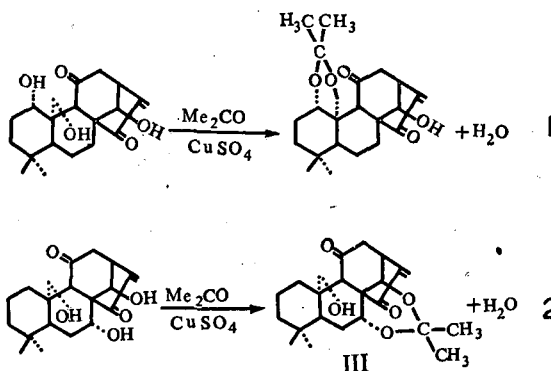


香茶菜甲素的功能基 20 位羟甲基 δ 3.16 及 3.50 (各 1 H, AB 系统, $J=10 \text{ Hz}$) 与同属植物分得的二萜类比，化学位移偏于高场^(2~3) 1 碳谱中缺乏如 Oridonin 7 位氧桥四取代碳的信号*，而有另一羰基 (δ 206.3, s) 信号。质谱 $m/e 299$ ($\text{M}^+ - \text{H}_2\text{O} - \text{CH}_2\text{OH}$)，提示存在 CH_2OH 。此外， δ 4.64 (1 H, q, $J=5$ 及 10 Hz)，6.19 (1 H, s) 为两个仲醇质子，示 $2 \times -\text{OH}$ 。综上数据 I 具有一 CH_2OH ，两个仲羟基， $>\text{C}=\text{O}$ 诸功能基。

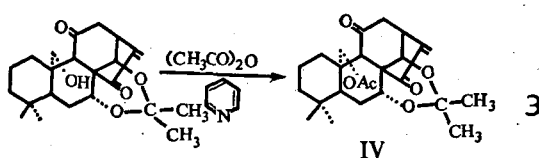
双共振奥氏效应试验分别照射 II AB 系统的两个 H (δ 3.60 及 03.90) 观察 δ 1.34 ($\text{C}19-\text{CH}_3$)

* 我们所作 Oridonin 的碳谱 7 位碳 δ 97.8

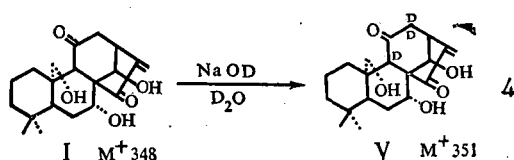
及 6.49(C14- α H)，其积分分别增益约 40% 及 12%，表明此两组质子存在奥氏效应 (NOE)，提示—CH₂OH 在 20 位，且为 α 构型，A/B 环为反式，B/C、C/D 环为顺式连接^(4~6)。II 的奥氏效应试验 (CDCl₃) δ 6.49 分别与 C13- α H (δ 3.26) 及 C20-Hb (δ 3.90) 存在奥氏效应。C14- α H 与 C13- α H 双面夹角 $\cong 90^\circ$ ，呈单峰，故 14 位有 β -OH。I 核磁共振谱 δ 4.64(1 H, q, J=5 及 10 Hz) 为竖键质子，其同碳羟基为 α -OH，分子模型提示 1、7 位均可能，并均能与丙酮缩合，反应式如下 (1), (2)。



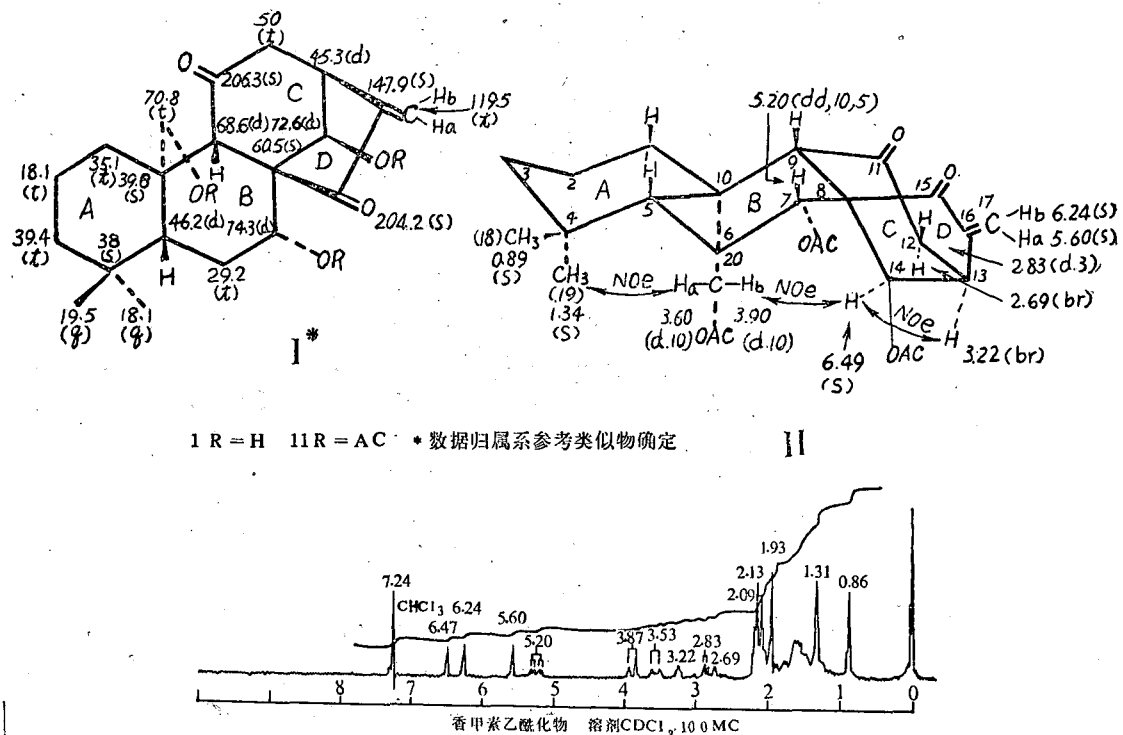
香甲素丙酮缩合物 III 中 $\begin{array}{c} \text{O} \\ | \\ \text{C} \\ | \\ \text{CH}_3 \\ \backslash \\ \text{O} \end{array}$ 两甲基的化学位移分别为 δ 1.28 及 1.66，与文献类似物比较，与 III 较一致⁽⁶⁾，C7- β H 的化学位移亦与相似物较一致^(4~6)。奥氏效应不支持 (1)，III 的酰化物 (IV) 核磁共振谱 (CDCl₃) 表明 20 位-CH₂OH 酰化成-CH₂OAC [反应式 (3)]， δ 3.76, 3.92(各 1 H, dd, AB 系统, J=10 Hz, C20=2 H) 较 III 向低场位移约 0.5 ppm，证实 7 位有一个 α -OH。



另一羰基在 1、2、3、6、11、12 位均可能，氘代香甲素 (V) 质谱 M⁺ 351, 1、2、3 位可排除。V 核磁共振谱 (C₆D₆N) C7-H 及 C13-H 峰仍存在，6、12 位可排除。I 核磁共振谱 δ 2.75 及 2.60 两峰信号在 V 的核磁共振谱中消失，V 的核磁共振谱 C13-H (δ 3.30) 从宽峰变为尖峰，此系 12 位两质子邻近羰基被氘代后信号消失，与 C13-H 减少偶合所致，故羰基在 11 位。双共振去偶试验照射 II 的 C13-H，使 C12-2 H 的 α 、 β 两组峰均变简、变尖，C17-Ha 亦变尖；照射 C12- β H 时，C13-H, C12- α H 峰均变尖，证实 羰基在 11 位。氘代反应式如 (4)



综上各种实验数据香甲素的结构式如 I

图 1 香茶菜乙酰化物核磁氢谱(CDCl_3)

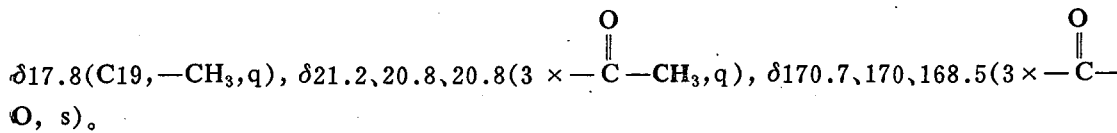
实验部分

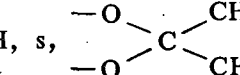
层析硅胶为浙江黄岩硅胶厂产，柱层析 160 目，薄层 250 目。熔点由微量熔点测定仪 (Yanaco) 测定。紫外光谱 uv-200 型。红外光谱日立 285 型。核磁共振光谱 XL-100, WH 90, JNM-PS-100 型。双共振奥氏效应、自旋去偶、碳谱为 FX-60 Q, 质谱为 JEOL D-300。

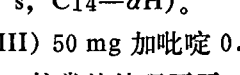
(一) 香茶菜的提取 叶干粉用乙醇第一次 4 倍，第二次 3 倍量回流提取二次，醇提液加 5% 活性炭 (生药量) 回流脱色、离心、滤液浓缩至浸膏，用醋酸乙酯溶解，加 5% Na_2CO_3 液振提，醋酸乙酯液浓缩至干，研细，用干法装好的硅胶柱层析，用氯仿、氯仿—丙酮递增洗脱。从氯仿洗脱液中依次得丁素 (白色结晶，熔点 58~61°C)，丙素 (白色结晶，熔点 139~141°C，为 β -谷甾醇)，乙素 (白色结晶，熔点 289~291°C，为乌苏酸)。从氯仿—丙酮 (9:1) 洗脱液中得戊素 (白色结晶，熔点 247~250°C)；氯仿—丙酮 (8:2) 得甲素 (白色结晶，熔点 260~262.5°C)。另酸性部分用干法装好的硅胶柱层析，氯仿洗脱得己素 (白色结晶，熔点 69~70°C，为硬脂酸)。

香茶菜甲素 (I) 分子式 $\text{C}_{20}\text{H}_{28}\text{O}_6$ 。计算值 % C 68.73, H 8.04；实测值 % C 68.55, 68.53, H 8.21, 8.07。紫外光谱 $\lambda_{\text{max}}^{\text{EtOH}}$ 229 nm ($\epsilon=8450$)。红外光谱 $\nu_{\text{max}}^{\text{KBr}}$ cm^{-1} 3360, 3200, 2900, 1725, 1700, 1645, 1440, 1380, 1130, 1090, 1030, 940。质谱 M^+ 348，主要裂片离子 330 ($\text{M}^+-\text{H}_2\text{O}$), 312 ($\text{M}^+-2\text{H}_2\text{O}$), 299 ($\text{M}^+-\text{H}_2\text{O}-\text{CH}_2\text{OH}$), 196, 194, 148, 137, 123, 109, 91, 81, 67, 55。核磁共振谱 ($\text{C}_5\text{D}_5\text{N}$) δ 0.81, 1.16 (各 3 H, s, C18—Me 和 C19—Me), δ 3.16, 3.50 (各 1 H, dd, AB 系统, $J=10$ Hz, 为 C20—Ha 及 Hb), δ 4.64 (1 H, q, $J=5$ 及 10 Hz, C7— β H), δ 5.43 (2 H, C17—2 H), δ 6.19 (1 H, s, C14— α H)。

(二) 香甲素乙酰化物 (II) 香甲素 105 mg 加吡啶 1.5 ml 及醋酐 1.5 ml 溶解, 放置过夜, 翌日, 加乙醇 2 ml, 在水浴 40~43°C 通氮减压抽去溶媒, 得白色粘稠状物, 蒸馏水搅拌洗涤, 抽滤得白色沉淀物, 稀酸水洗, 继蒸馏水洗至中性, 干燥, 得白色结晶 100 mg, 熔点 185~187°C。元素分析 $C_{26}H_{34}O_8$ 。实测值 %C 65.95, 66.01, H 7.12, 7.14。计算值 %C 65.73, H 7.17。表明为香甲素的三乙酸酯。紫外光谱 $\lambda_{\text{max}}^{\text{EtOH}}$ 233 nm。红外光谱 $\nu_{\text{max}}^{\text{KBr}}$ cm⁻¹ 1725 (酯), 1700 (羰基), 1640 ($\text{C}=\text{CH}_2$), 1380, 1360 (-CH₃), 1235 (乙酰基), 1140, 1075, 1040, 960, 940。质谱 m/e 474(M⁺), 414 (M⁺-HOAc), 374, 354 (M⁺-2 HOAc), 314 (374-HOAc), 294 (M⁺-3 HOAc)。碳谱(CDCl₃) δ 36.5 (C4, s), δ 40.3 (C10, s), δ 60.0 (C8, s), δ 143.9 (C16, s), δ 200 (C15, s), δ 204 (C11, s), δ 73.2 (C1, d), δ 72.4 (C14, d), δ 68.7 (C9, d), δ 46.8 (C5, d), δ 42.6 (C13, d), δ 24.0 (C2, t), δ 38.4 (C3, t), δ 17.5 (C6, t), δ 35.2 (C7, t), δ 121.2 (C17, t), δ 71.4 (C20, t), δ 50.5 (C12, t), δ 19.5 (C18, -CH₃, q),



(三) 香甲素丙酮缩合物 (III) 香甲素 100 mg 溶于 50 ml 丙酮中加无水硫酸铜粉 1~2 g, 在水浴上回流 16 小时, 不断振摇, 快速滤出, 反应液在通氮下抽除溶媒, 干燥, 得无定形淡黄色粉末, 熔点 105°C。红外光谱 $\nu_{\text{max}}^{\text{KBr}}$ cm⁻¹ 3450, 3070, 2970, 2920, 1730, 1695, 1640, 1460, 1370, 1240, 1140, 1110, 1020, 940。质谱 m/e M⁺ 388, 373 (M⁺-CH₃), 370 (M⁺-H₂O), 358 (M⁺-2 × CH₃), 354, 343, 330, 313, 301。核磁共振谱 (CDCl₃) δ 0.80, 1.13 (各 3 H, s, C18-CH₃ 及 C19-CH₃), δ 1.28, 1.66 (各 3 H, s, ), δ 3.13, 3.50 (各 1 H, AB 系统, J=10 Hz, C20-2 H), δ 3.28 (1 H, br, C13-H), δ 4.40 (1 H, q, C7-βH), δ 5.03, 5.61 (各 1 H, s, C17-2 H), δ 6.32 (1 H, s, C14-αH)。

(四) 香甲素丙酮缩合物 (III) 的酰化 香甲素丙酮缩合物 (III) 50 mg 加吡啶 0.3 ml, 醋酐 0.3 ml, 放置过夜, 在 63°C 水浴上旋转薄膜蒸发, 抽去溶媒, 按常法处理至干, 硅胶柱层析, 氯仿洗脱, 得无色粘稠状的香甲素丙酮缩合酰化物 (IV) 约 20 mg, 熔点 65~67°C。(IV) 核磁共振谱 (CDCl₃) δ 0.89 (3 H, s, C18-CH₃), δ 1.13 (3 H, s, C19-CH₃), δ 1.29, 1.66 (各 3 H, s, , δ 2.10 (3 H, s, C20-OAc), δ 3.30 (1 H, br, C13-H), δ 3.76, 3.92 (各 1 H, dd, AB 系统, J=10 Hz, C20-2 H), δ 4.30 (1 H, q, J=5 及 10 Hz, C7-βH), δ 5.01, 5.58 (各 1 H, s, C17-2 H), δ 6.31 (1 H, s, C14-αH)。

(五) 氮代香甲素 (V) 香甲素 34.5 mg 溶于 0.8 ml 无水二氧六环中, 另加入 2 ml 稀 NaOD 的 D₂O 液, 在室温搅拌 1.5 小时, 然后倒入稀酸水中, 有白色沉淀析出, 立即抽滤, 以酸水、蒸馏水洗至中性, 干燥, 熔点 260~264°C。质谱 (m/e) 351 (M⁺), 333 (M⁺-H₂O), 315 (M⁺-2 H₂O), 302 (M⁺-H₂O-CH₂OH), 284 (M⁺-2 H₂O-CH₂OH)。核磁共振谱 (C₆D₅N) δ 0.76, 1.10 (各 3 H, s, C4-2 × CH₃), δ 3.16 及 3.50 (各 1 H, dd, AB 系统, J=12 Hz, C20-2 H), δ 3.30 (1 H, s, C13-H), δ 4.90 (4 H, br, 3 × OH, 另为 C7-H), δ 5.38 及 5.56 (各 1 H, s, 为 C17-Ha 及 C17-Hb), δ 6.18 (1 H, s, 为 C14-αH)。

香甲素乙酰化物的奥氏效应试验

编 号	照 射 质 子 (δ)	观 察 质 子 (δ)	NOE
1	C13—H(3.26)	C14—H (6.49)	27%
2	C20—H _a (3.90)	C14—H (6.49)	12%
3	C14—H(6.49)	C13—H (3.26)	12%
4	C18—CH ₃ (0.89)	C14—H (6.49) C7—H (5.20)	无 无
5	C7—H (5.20)	C18—CH ₃ (0.89)	无
6	C20—H _a (3.60)	C19—CH ₃ (1.34)	约40%

致谢 植品种由本所胡俊麟同志鉴定，元素分析、紫外、红外由我所分析室测，核磁由中科院感光所及江苏省化工所，上海医工院、上海药物所测。质谱由江苏省林化所测。本文承梁晓天、谢晶曦两教授审阅并提供宝贵的意见，一并致谢。

参 考 文 献

1. Fujita E, et al: Terpenoids XXXI Biogenetic classification of Isodon diterpenoids 菜学雜誌 (日) 94:788, 1974
2. Fujita E and Taoka M: Terpenoids XX The structure and absolute configuration of Lasiokaurin and Lasiodonin, new diterpenoids from Isodon Lasiocarpus (Hayata) Kudo Chem Pharm Bull 20 (8):1752, 1972
3. Fujita T, et al: Structures of effusanins diterpenoids from Rabdosia effusa Chem Lett 1635, 1980
4. Kubo I, et al: The structure of infrexin *Ibid* 99, 1977
5. Kubo I, et al: Structure of Isodomedin, a novel ent-Kaurenoid diterpene *JCS Chem Comm* 555, 1977
6. Nomoto K, et al: Rastronole A, B, C, D, E, F, G und H; eine Gruppe multioxygenierter Diterpenbitterstoffe der ent-kauran-Reihe aus Englerastrum scandens Alston *Helv Chim Acta* 59 Fase 3, 772, 1976

THE ANTITUMOR CONSTITUENTS OF RABDOSIA AMETHYSTOIDES

CHENG Pei-yuan, XU Mei-juan, LIN Yong-le and SHI Jin-cheng

(Nanjing Institute of Materia Medica)

ABSTRACT

From the Chinese drug *Rabdosia amethystoides* seven components were isolated, one of them is a new four ring diterpenoid to which the name Amethystoidin A is suggested. Its formula was found to be $C_{20}H_{28}O_5$, m. p. 260~262.5°C. By means of spectral methods combined with chemical analysis the chemical structure of Amethystoidin A was determined to be ent-7 α , 14 β -dihydroxy-20 α -hydroxymethyl-kaur-16-en-11,15-dione. This compound was shown to have inhibitory action on experimental tumor in vivo and heptoma cells and *staphylococcus aureus* in vitro. The other components "B", "C" and "F" were identified to be ursolic acid, β -sitosterol and stearic acid respectively. The identification of other components is in progress.

Key words *Rabdosia amethystoides*; Amethystoidin A; ent-7 α , 14 β -dihydroxy-20 α -hydroxymethyl-kaur-16-en-11,15-dione; ursolic acid